

Mathematisch-Naturwissenschaftliche Fakultät Institut für Chemie

Prof. Dr. Martin Köckerling

Abeitsgruppe Anorganische Festkörperchemie

Vorlesung Anorganische Chemie VII – Vom Molekül zum Protein

Vorlesungsfolien sind zu finden unter:

http://www. Koeckerling.chemie.uni-rostock.de → Lehre



Zusammenhang: Röntgenintensität - Strukturfaktor

$$I_{(HKL)} = K \cdot A \cdot EX \cdot g(\theta) \cdot |F_{(hkl)}|^2$$

I_(HKL) = Integrale Intensität eines Reflexes hkl

K = Konstante, enthält Streuvermögen eines "klassischen" Elektrons, sowie die Intensität des Primärstrahls

A = Absorptionskoeffizient

EX = Extinktionskoeffizient

 $g(\theta) = L(\theta) \cdot P(\theta)$; Lorentz- und Polarisationsfaktor;

 $|F_{(hkl)}|$ = Strukturamplitude

$$F_{(hkl)} = \sum_{Atome}^{1Zelle} f_i e^{i\phi} = \sum_{Atome}^{1Zelle} f_i e^{i2\pi(hx_i + ky_i + lz_i)}$$

F(hkl) = komplexe Funktion!



Fourier-Transformation der Elektronendichte; Invers-Transformation:

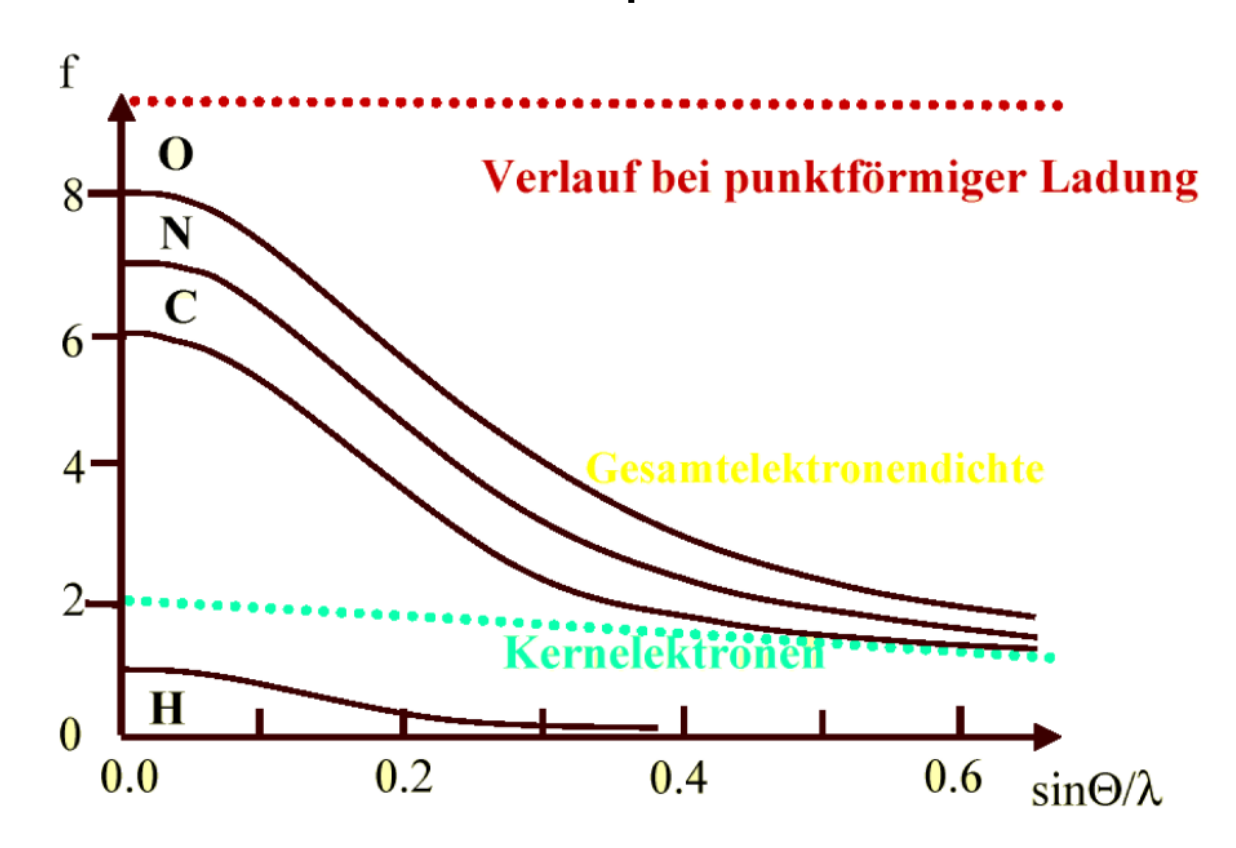
$$\rho_{(xyz)} = \int_{0}^{V^*} F_{(hkl)} e^{-i2\pi(hx_i + ky_i + lz_i)} dV^*$$

$$e^{i2\pi(hx_i + ky_i + lz_i)} = \{\cos[2\pi(hx + ky + lz)] + i\sin[2\pi(hx + ky + lz)]\}$$



Atomformfaktoren f_i

Beschreiben die Winkelabhängigkeit des Streuvermögens einzelner Atome. Enthalten einen Temperaturfaktor!





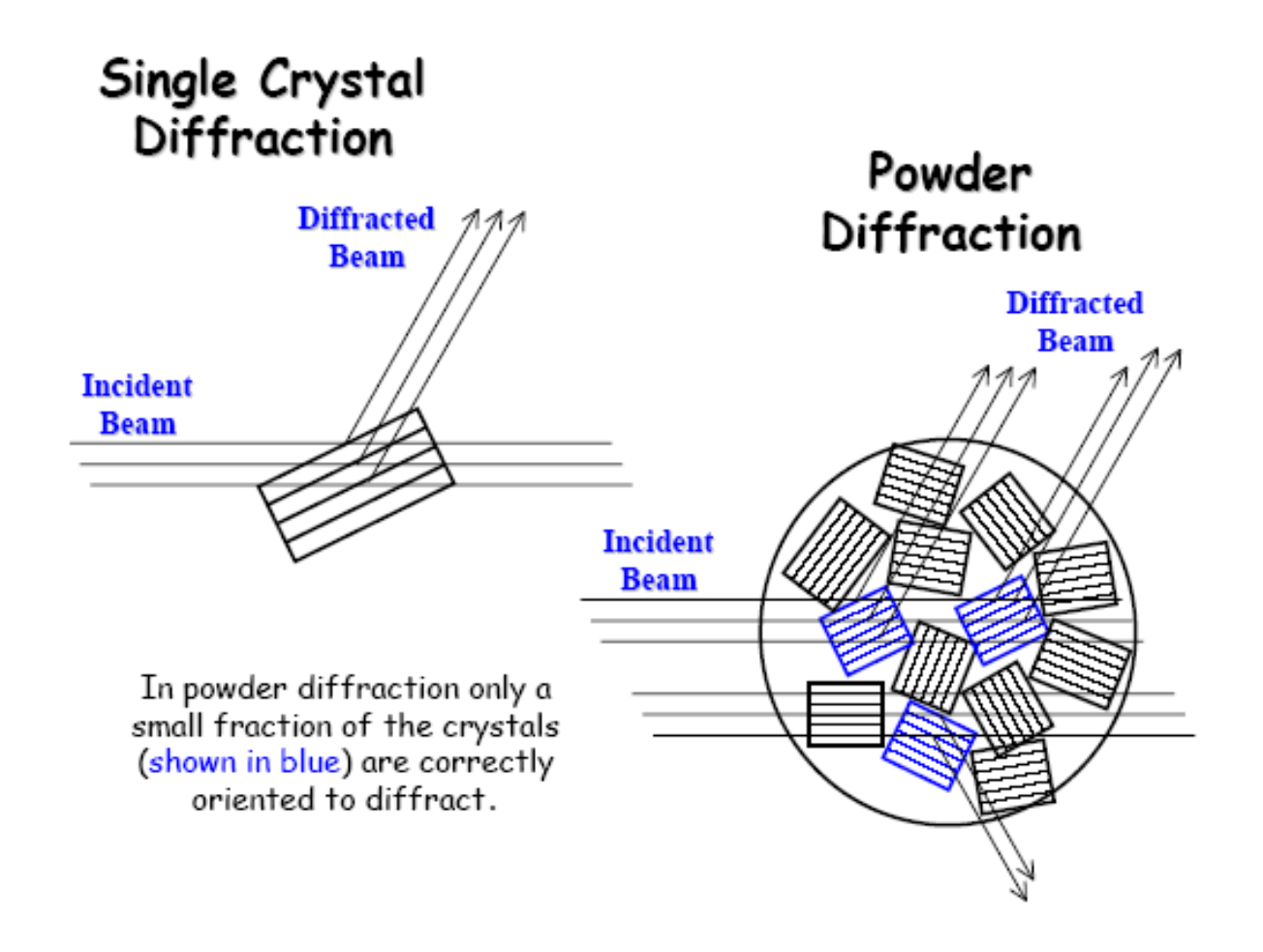
Züchtung von Einkristallen

Keimbildung, Kristallwachstum

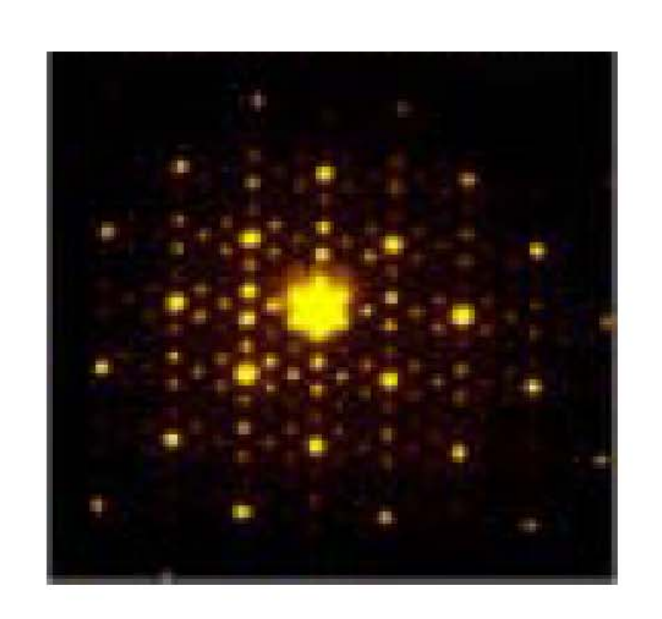
- o Aus Lösung
- o Langsames Abkühlen
- o Variation des Lösungsmittels
- o Langsames Eindunsten der Lösung
- o Eindiffusion eines anderen Lösungsmittels
- o Ineinanderdiffusion zweier reaktiver Komponenten
- o Hydrothermalmethode
- o Ziehen aus Schmelzen
- o Sublimation

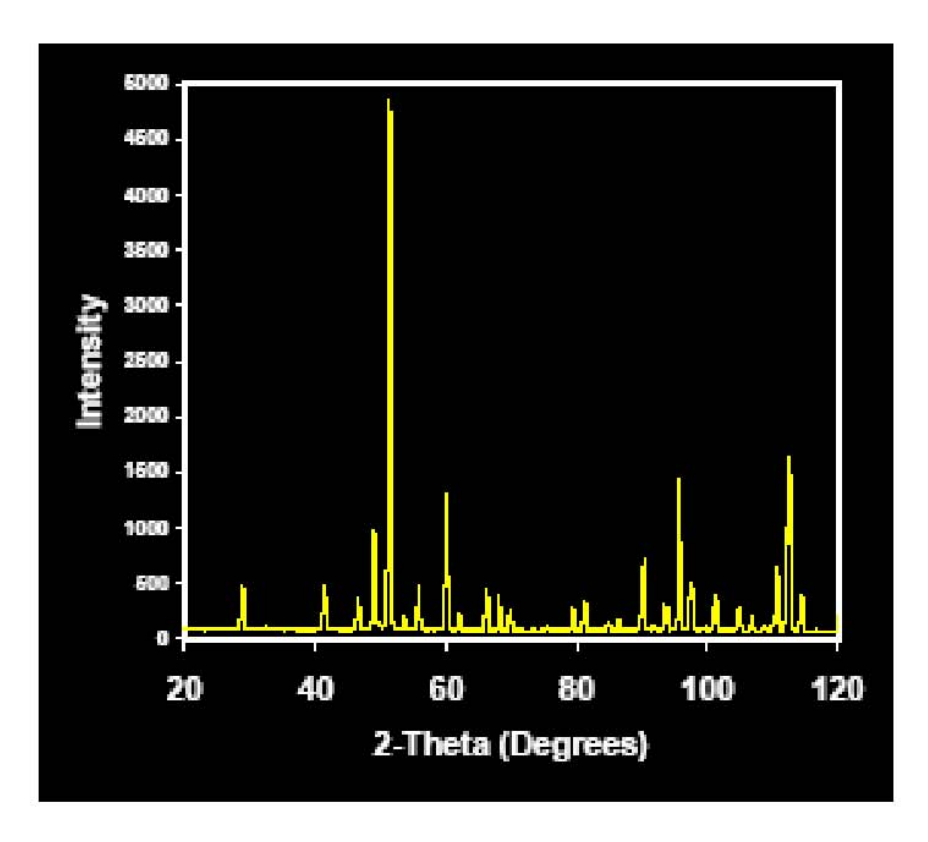


Pulverdiffraktometrie









Einkristalldiffraktogramm, 3D

Pulverdiffraktogramm 1D





4-Kreis-Einkristalldiffraktometer

Pulverdiffraktometer

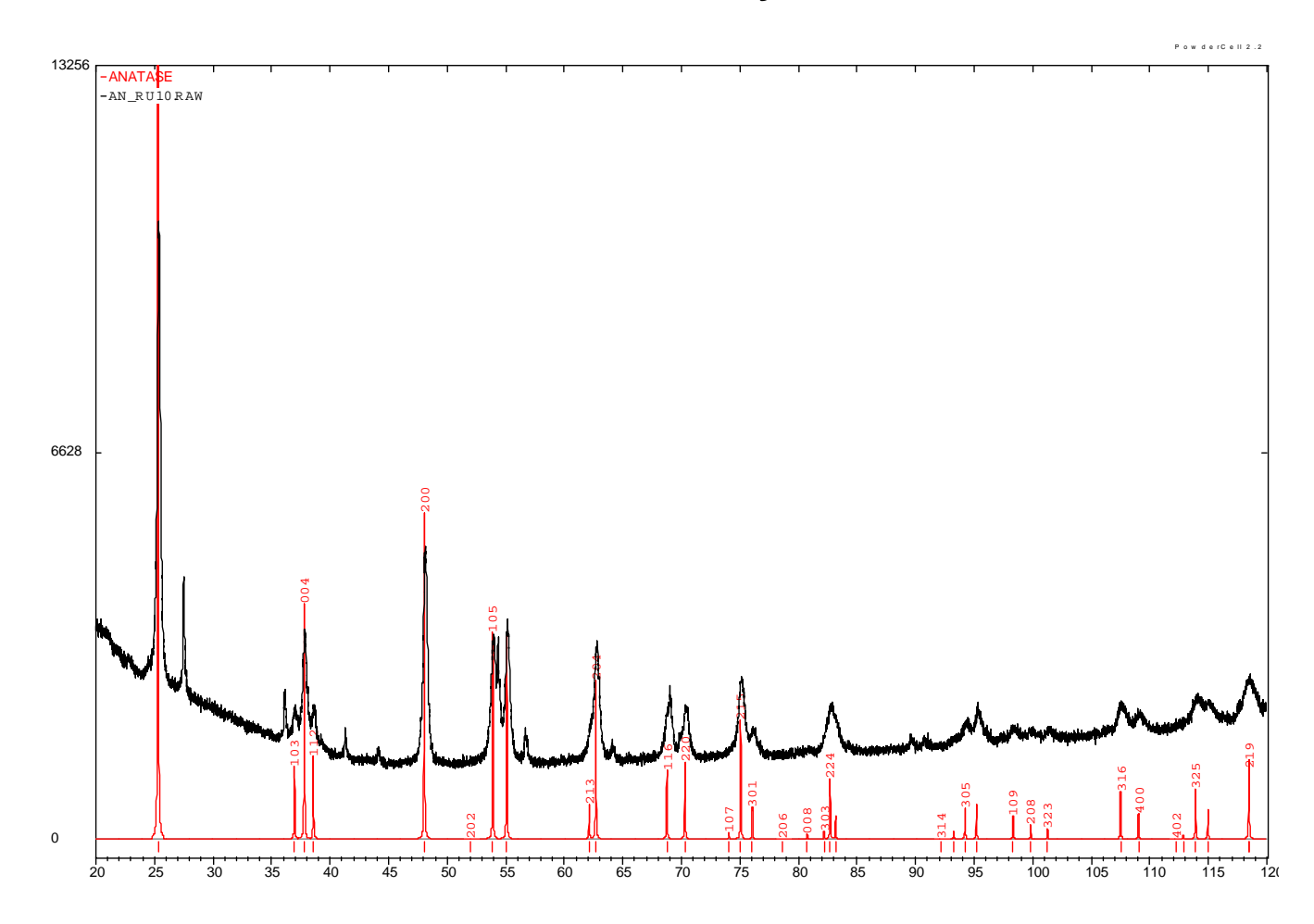


Pulver-Beugungsmethoden

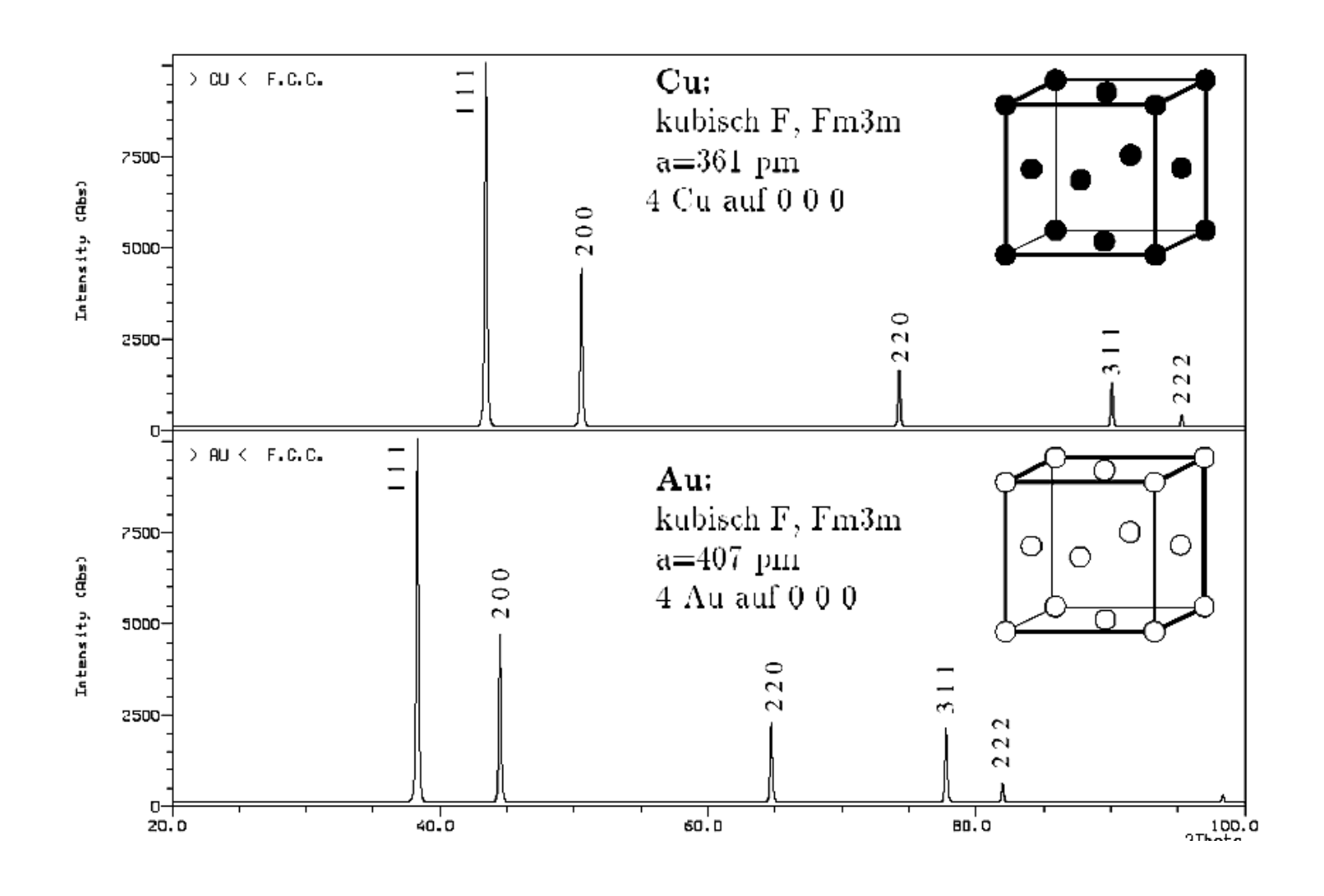
- Qulitative Analyse
 - Substanz-/Phasenidentifizierung
- Quantitative Analyse
 - > Bestimmung von Gitterkonstanten
 - > Bestimmung der mengenmäßigen Zusammensetzung von Proben
- Strukturverfeinerung
 - > Rietveld-Methode
- Strukturlösung
 - > Realraum-Methoden
 - > Reziprokraum-Methoden
- Auswertung der Reflexform
 - > Bestimmung der Kristallitgrößen
 - ➤ Mikrospannungen in Materialien
 - > Bestimmung von Defektkonzentrationen



Qualitative Phasenanalyse: Anatas-Probe









Strukturbestimmung aus Pulverdaten - Rietveld-Verfeinerung

Viele Parallelen zur Verfeinerung von Einkristalldaten!

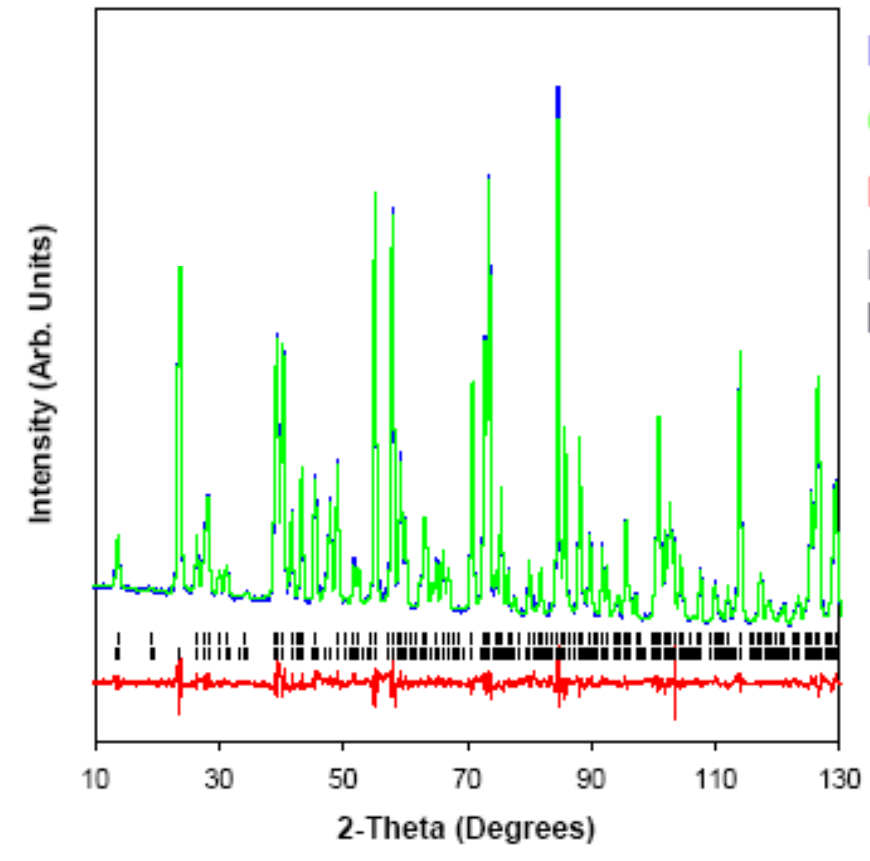
Probleme:

 Überlagerung von Reflexen

Datenpräzision

Ergebnis:

Präzise Gitterkonstanten und Atomparameter



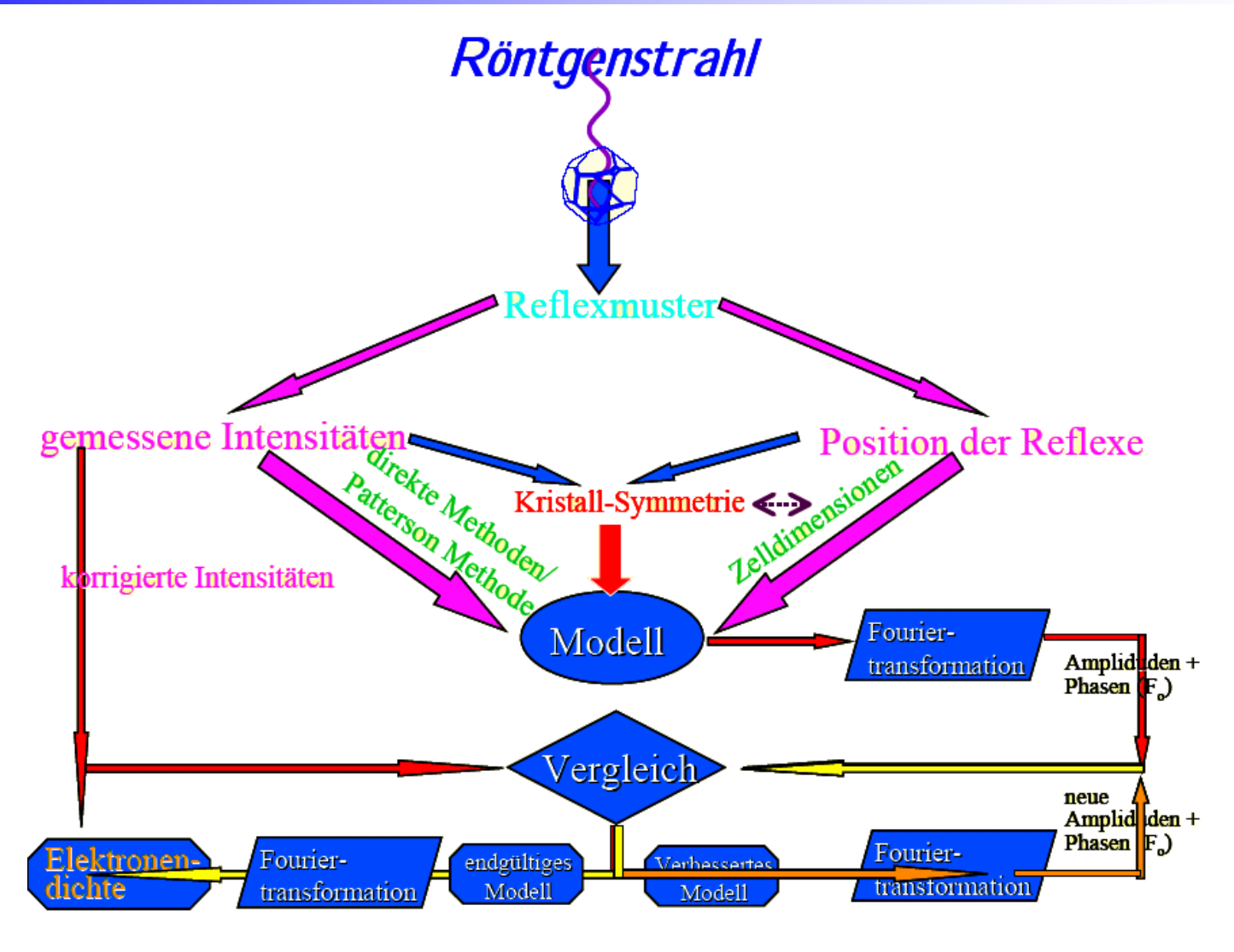
Blue = Observed

Green = Calculated

Red = Difference

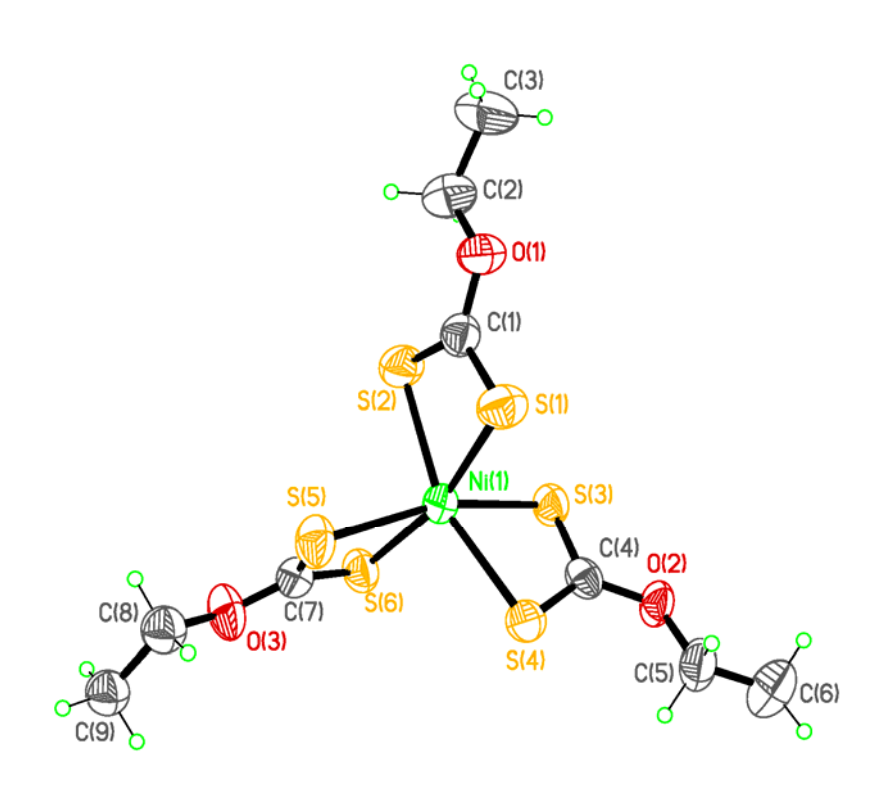
Black = Expected peak positions







Beispiel: Nickel-tris-xanthat



[PPhMe₃][Ni(S₂COEt)₃]

Trimethylphenylphosphonium-nickel(II)-trisethylxanthat

Monokline Elementarzelle:

a = 10.568(3), b = 21.573(5), c = 11.645(3) Å

 $\alpha = 90^{\circ} \beta = 102.62(2)^{\circ} \gamma = 90^{\circ}$

6131 Reflexe

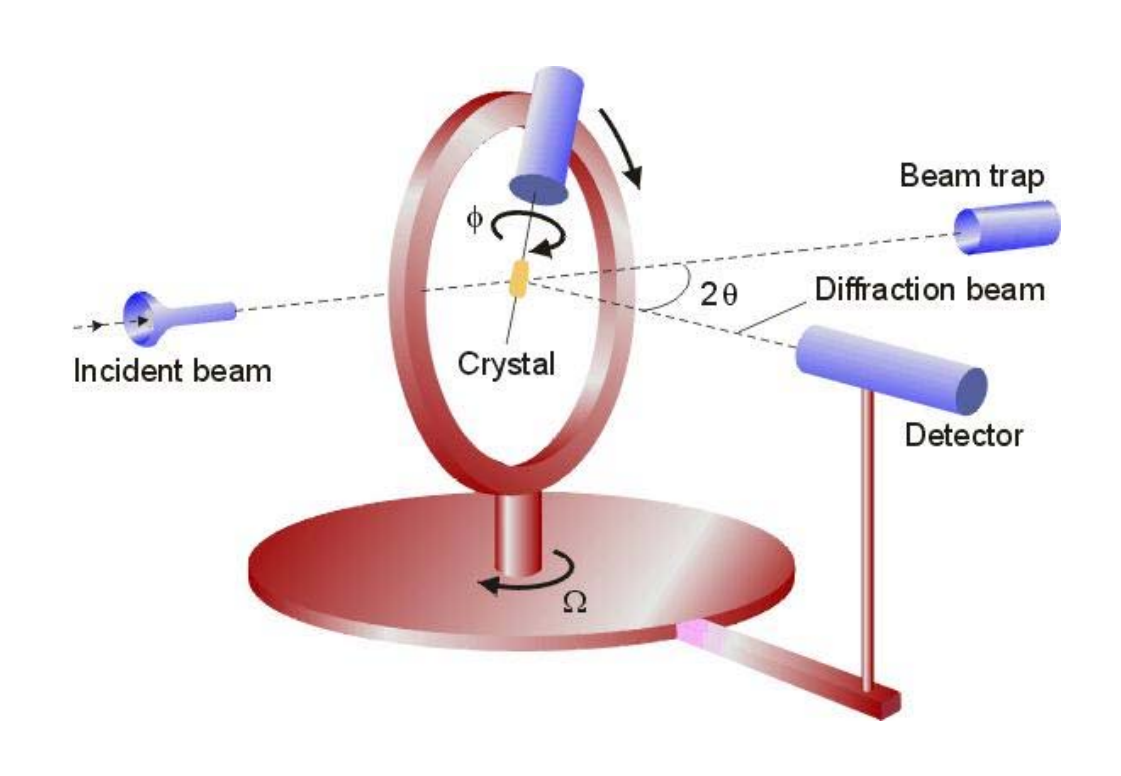
R1 = 0.0669

Ni1-S1 2.423(2) Å, Ni1-S2 2.436(2) Å,

N1-C10 1.499(8) Å

Werte in Klammern: Standardfehler!









Die wichtigsten einzelnen Schritte einer Einkristall-Röntgenstrukturbestimmung

- 1. Kristallauswahl, Bestimmung der Elementarzelle und Kristallorientierung
- 2. Sammlung von Reflex-Intensitätsdaten (Datensatz)
- 3. Datenkorrektur, Absorptionskorrektur, Lorentz- Polarisationskorrektur, Datenreduktion
- 4. Bestimmung der Raumgruppe
- 5. Strukturlösung
- 6. Vervollständigung des Modells, Strukturverfeinerung
 - a. Fehlordnung (?)
 - b. Zwillingsbildung (?)
- 7. Kritische Betrachtung, Veröffentlichung der Struktur



Proteinkristallographie

Nobelpreise für die Aufklärung von Röntgenstrukturen von Biomolekülen:

- 1946 J. B. Sumner (u.a.), Kristallisation von Enzymen
- 1953 DNA-Struktur, Watson & Crick
- 1958 Myoglobin und Haemoglobin, Kendraw & Perutz
- 1958 F. Sanger, Proteinstrukturen, z.B. vom Insulin
- 1962 J. C. Kendrew, M. F. Perutz, Strukturen von Globulin-Proteinen
- 1964 D. Crowfoot-Hodgkin, Kristallstrukturbestimmung biologisch wichtiger Substanzen
- 1982 A. Klug, Kristallographische Methoden zur Strukturbestimmung von Proteinen
- 1985 H. A. Hauptman, J. Karle, Direkte Methoden zur Strukturlösung
- 1988 J. Deisenhofer, R. Huber, H. Michel, Strukturbestimmung des photosynthetischen Reaktionszentrums
- 2000 Röntgenstruktur der Ribosom-Untereinheit



"Normale" Molekülstruktur: Proteinstruktur:

Gitterkonstanten ~10 – 35 Å Gitterkonstanten ~100 – 4 000 Å

Anzahl Reflexe < 20 000 Anzahl Reflexe > 200 000

Anzahl Atome in Elementarzelle: Anzahl Atome in Elementarzelle:

~50 - 100 ~1000 -25 000

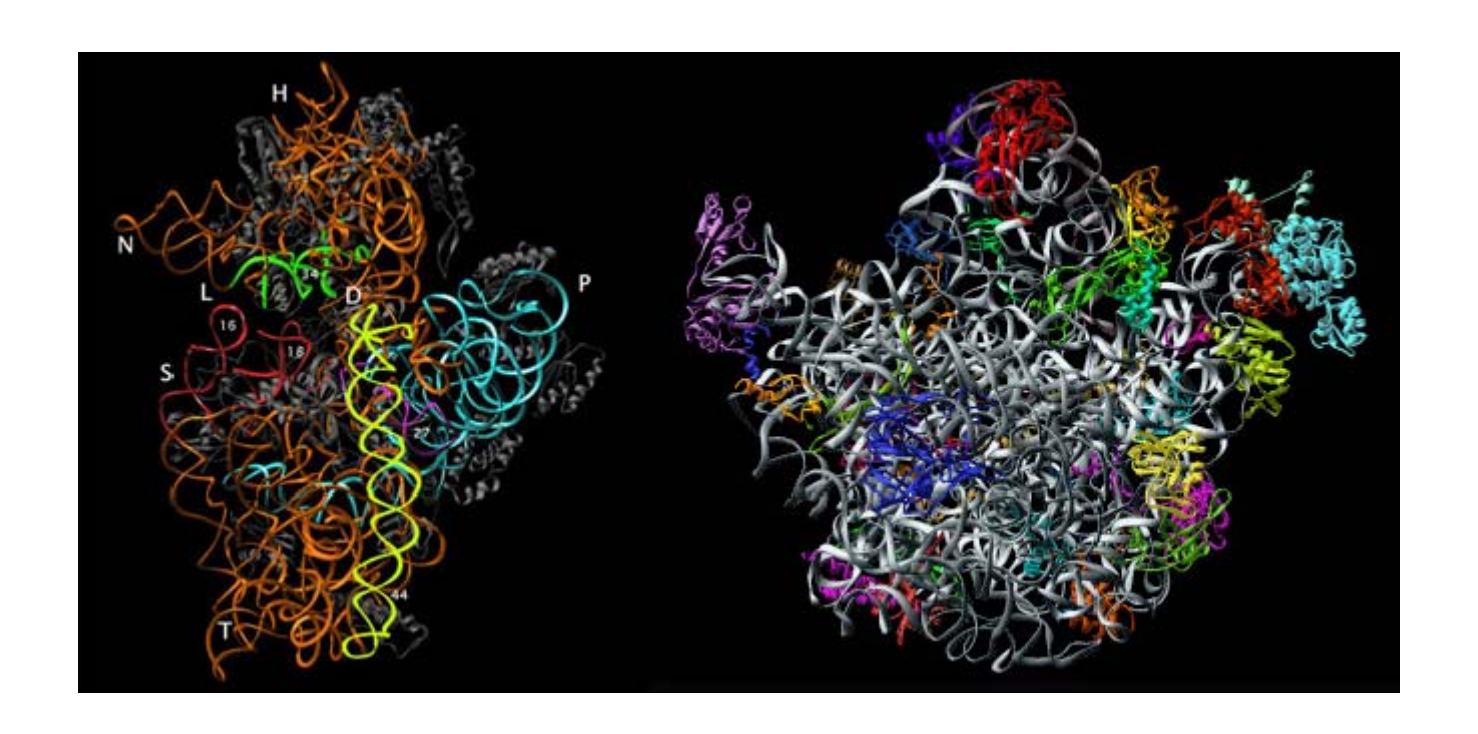
Molekülmassen: ~500 – 3 000 g/mol Molekülmassen: > 30 000 g/mol

Lösung von Proteinstrukturen mittels Patterson- oder Direkter Methoden nicht möglich: Isomorpher Ersatz: Schweratomderivate

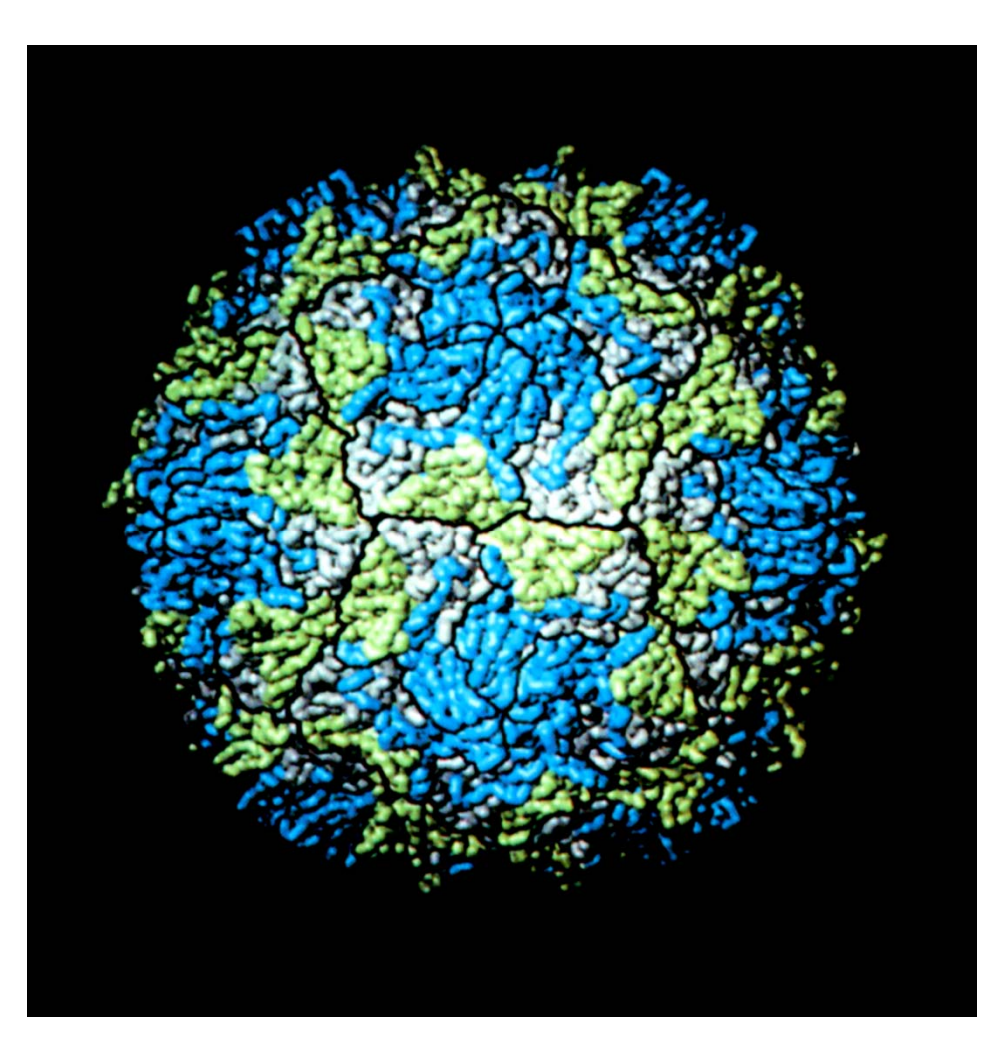
Messung mittels Synchrotronstrahlung

Experimentelle Schwierigkeit: Kristallzüchtung!









Struktur des Poliovirus, orthorhombisch, P2₁2₁2

Volumen der Elementar-zelle: 4.4 x 10¹¹ Å³, enthält 2 Viruspartikel auf einer 2zähligen Drehachse

Molmasse: 8.5 x 10⁶ Dalton

Strukturbestimmung aus 3.5 Millionen Refl.des nativen Virus + 1.1 Mio. Reflexen eines Pt-Derivates!